



اثر لاکتوباسیلوس پلانتاروم محصور شده با نیوزوم در درمان مدل موش کولیت اولسراتیو و ارزیابی بیان سایتوکاین IL-10/TNF- α

غزاله شریفی اردانی: کارشناسی ارشد میکروبیولوژی، گروه زیست شناسی، واحد تهران مرکزی، دانشگاه آزاد اسلامی، تهران، ایران
جواد آراسته: استادیار ایمنی شناسی، گروه زیست شناسی، واحد تهران مرکزی، دانشگاه آزاد اسلامی، تهران، ایران (✉ نویسنده مسئول) J.arasteh@iau.ac.ir
امیر میرزایی: استادیار، گروه زیست شناسی، واحد پرند، دانشگاه آزاد اسلامی، پرند، ایران
غزاله لرستانی زاده: کارشناسی ارشد میکروبیولوژی، گروه زیست شناسی، واحد تهران مرکزی، دانشگاه آزاد اسلامی، تهران، ایران
حمیدرضا مهرجو: کارشناسی ارشد میکروبیولوژی، گروه زیست شناسی، واحد تهران مرکزی، دانشگاه آزاد اسلامی، تهران، ایران

چکیده

کلیدواژه‌ها

پروبیوتیک،
نیوزوم،
TNF- α ،
IL-10
کولیت

زمینه و هدف: کولیت اولسراتیو یک التهاب حاد است که با گسترش التهاب در مخاط روده و رکتوم مشخص می‌شود. پروبیوتیک‌ها میکروارگانیسم‌های زنده ای هستند که یک روش درمانی جایگزین و ایمن در درمان کولیت اولسراتیو می‌باشند. هدف از این مطالعه بررسی اثر لاکتوباسیلوس پلانتاروم محصور شده در نیوزوم در درمان مدل موش کولیت اولسراتیو و ارزیابی بیان سایتوکاین IL-10/TNF- α است.

روش کار: این مطالعه بر روی ۱۶ موش صحرایی نر نژاد ویستار انجام گرفت. حیوانات به گروه‌های سالم، کولیت ایجاد شده با اسید استیک ۲٪، درمان بالاکتوباسیلوس پلانتاروم و درمان بالاکتوباسیلوس پلانتاروم محصور شده در نیوزوم تقسیم شدند. پس از درمان نمونه‌های کولون جهت بررسی‌های ماکروسکوپی، میکروسکوپی و ارزیابی بیومارکرهای التهابی مورد استفاده قرار گرفت. نتایج به صورت میانگین \pm انحراف معیار گزارش $P < 0.05$ به عنوان سطح معنی‌دار در نظر گرفته شد.

یافته‌ها: مصرف لاکتوباسیلوس پلانتاروم محصور شده در نیوزوم و لاکتوباسیلوس پلانتاروم باعث کاهش معنی‌دار ($P < 0.05$) علائم ماکروسکوپی شد. در بررسی میکروسکوپی گروه لاکتوباسیلوس پلانتاروم محصور در نیوزوم، نشان‌دهنده التهاب خفیف و آسیب کربیتی جزئی بود که نتایج به صورت معنی‌داری ($P < 0.05$) با گروه کولیت تفاوت داشت. درمان بالاکتوباسیلوس پلانتاروم محصور شده در نیوزوم به صورت معنی‌داری ($P < 0.05$) موجب کاهش سطح بیان TNF- α در مقایسه با گروه کولیت شد. غلظت IL-10 در گروه لاکتوباسیلوس پلانتاروم محصور در نیوزوم افزایش یافت، اما تغییر معنی‌داری را در مقایسه با گروه کولیت نشان نداد.

نتیجه‌گیری: بررسی نتایج نشان داد لاکتوباسیلوس پلانتاروم محصور شده در نیوزوم می‌تواند به عنوان گزینه درمانی مناسب جایگزین داروهای موجود در درمان کولیت اولسراتیو در نظر گرفته شود، با این حال برای تایید این فرضیه، انجام مطالعات بیشتر ضروری است.

تعارض منافع: گزارش نشده است.

منبع حمایت‌کننده: حامی مالی ندارد.

شیوه استناد به این مقاله:

Sharifi Ardani G, Arasteh J, Mirzaei A, Lorestani Zadeh G, Mehrjoo HR. The Effect of Niosome-Encapsulated Probiotic Bacteria in the Treatment of Mouse Model of Irritable Bowel Syndrome and Evaluation of IL-10 / TNF- α Cytokines Expression. Razi J Med Sci. 2025(26 Jul);32.82.

Copyright: ©2024 The Author(s); Published by Iran University of Medical Sciences. This is an open-access article distributed under the terms of the CC BY-NC-SA 4.0 (<https://creativecommons.org/licenses/by-nc-sa/4.0/deed.en>).

*انتشار این مقاله به صورت دسترسی آزاد مطابق با CC BY-NC-SA 4.0 صورت گرفته است.



The Effect of Niosome-Encapsulated Probiotic Bacteria in the Treatment of Mouse Model of Irritable Bowel Syndrome and Evaluation of IL-10 / TNF- α Cytokines Expression

Ghazaleh Sharifi Ardani: MSc in Microbiology, Department of Biology, CT.C., Islamic Azad University, Tehran, Iran

Javad Arasteh: Assistant Professor of Immunology, Department of Biology, CT.C., Islamic Azad University, Tehran, Iran (*Corresponding Author) J.arasteh@iauctb.ac.ir

Amir Mirzaei: Assistant Professor, Department of Biology, Pa.C., Islamic Azad University, Parand, Iran

Ghazaleh Lorestani Zadeh: MSc in Microbiology, Department of Biology, CT.C., Islamic Azad University, Tehran, Iran

Hamid Reza Mehrjoo: MSc in Microbiology, Department of Biology, CT.C., Islamic Azad University, Tehran, Iran

Abstract

Background & Aims: Ulcerative colitis is an acute inflammation condition when sudden and severe inflammation affects the inner lining of the colon and rectum (1). The clinical presentation of this condition includes stomach discomfort, diarrhea, frequent passage of bloody stools, and the development of fibrosis (3). Various therapeutic approaches have been suggested to manage this complication, including the utilization of 5-aminosalicylates (5-ASA), employed for the treatment of inflammatory bowel disease (IBD). Furthermore, immunomodulators, such as azathioprine, 6-mercaptopurine, and antibiotics, play a crucial role in the treatment of conditions that do not respond to steroids or require ongoing steroid use. Nevertheless, these medications have adverse reactions and restricted efficacy in clinical practice, prompting the quest for natural and exceptionally efficient approaches and resources (4). The gut microbiota contributes critically to gut function regulation and can directly influence human health. This finding has attracted attention to probiotic bacteria, which can modify the indigenous microbial community or intestinal flora to promote gut well-being by eradicating pathogenic microorganisms when ingested in adequate quantities. Consequently, there has been a substantial rise in interest in probiotic applications as an alternate approach to medication therapy in recent years (6). Probiotics have recently been employed in IBD management. Giunchetti et al. demonstrated that a combination of eight probiotic bacteria could effectively inhibit chronic voiding (7). Several investigations on various strains of *L. plantarum* have exhibited a notable reduction in the production of pro-inflammatory cytokines (TNF- α and IL-10), resulting in beneficial effects for ulcerative colitis treatment both in vitro and in vivo. They regulate the composition of the intestinal microbiota, hinder the programmed cell death of intestinal cells, and prevent the initiation of the signaling pathway (NF-kB) (13). Nano-scale-designed carriers can effectively traverse biological barriers to ensure medication safety and provide the most efficient dosage. Niosomes are uncharged lipid vesicles created by a non-ionic solvent hydration with cholesterol and other lipids. Their vesicle system can potentially serve as a carrier for lipophilic and amphiphilic drugs. The non-ionic property of the substance reduces its toxicity and prevents it from affecting cells, resulting in a higher therapeutic index for the enclosed medication (15). Hence, the present research aimed to examine the regulatory impact of *Lactobacillus plantarum*, encapsulated in Niosomes, on the acetic acid-induced colitis rat model by using RT-PCR. The study has primarily employed Niosomes as a carrier for probiotics in colitis treatment.

Methods: This study prepared *L. plantarum* encapsulated in Niosomes by thin-layer hydration, focusing on physical and chemical profile assessment of nanoparticles, including their FTIR, zeta potential, size, shape, and encapsulation percentage. In addition, the level of toxicity in the normal cell line was assessed using the MTT technique. Experiments were conducted on 16 laboratory mice, randomly allocated into four groups (n=4), one group receiving *L. plantarum* encapsulated in Niosomes at a dose of 10^8 cfu/ml, one group receiving *L. plantarum* at a dose of 10^8 cfu/ml, a healthy group, and a colitis group. The rats in different treatment groups were euthanized with an overdose of ether on the specified day. Subsequently, 8 cm of colon tissue was removed, longitudinally opened and rinsed with normal saline. Various colon segments were fixed in a 10% formalin solution for histological

Keywords

Probiotic,
Niosome,
TNF- α ,
IL-10,
Colitis

Received: 03/05/2025

Published: 22/07/2025

analysis and then embedded in paraffin blocks for sectioning. Every specimen was treated with hematoxylin and eosin dye. Each group's slides were analyzed. The stained sections were assessed based on the extent of tissue injury and inflammation. The assessment of damage and inflammation involved four specific parameters: epithelial tissue damage, crypt damage, reduction in the number of goblet cells, and augmentation of inflammatory cells. After the extraction of RNA from colon tissue and subsequent cDNA synthesis, gene expression was assessed using real-time PCR, quantified by one-way ANOVA technique, and analyzed using Rest software. A gene expression graph was generated using the PadGraph program. A significance level of $P < 0.05$ was considered to determine statistical significance.

Results: The findings indicate that Niosome contains *L.plantarum* with a microencapsulation efficiency of %80, an average size of 1508.5 nm, a dispersion index of 2.44, and a positive surface charge of zeta potential of 37.8. FTIR and SEM studies revealed no interaction between *L.plantarum* and Niosome. Instead, the particles formed agglomerates and adhered to one another, resulting in a non-smooth surface. The particles exhibited a sphere-like morphology with rough edges. Additionally, cellular tests revealed that the toxicity of the encapsulated form was greater than that of the non-encapsulated form. The administration of *L.plantarum* encapsulated with Niosome resulted in a notable decrease ($p < 0.005$) in macroscopic symptoms. Microscopic examination of the *L.plantarum* group, when contained by Niosomes, revealed the presence of inflammation and minimal damage to the epithelial cells. The results exhibited a substantial divergence from the colitis group. The administration of encapsulated *L. plantarum* substantially decreased the production of TNF- α ($P < 0.05$) compared to the colitis group.

Conclusion: This study aimed to investigate the pro-inflammatory cytokine TNF- α and the anti-inflammatory cytokine IL-10 expression levels in the colon tissue of male rats with colitis. The rats were treated with *L.plantarum* and *L.plantarum* encapsulated in Niosome at a concentration of colony-forming units per milliliter (cfu/ml). *L.plantarum*, when encapsulated, exhibited a substantial effect on the cytokines IL-10 and TNF- α , causing a drop in the former and a rise in the latter. Nevertheless, there was no evidence regarding the efficacy of the nanocarrier as a viable vehicle for acute ulcerative colitis treatment in rats. The patient group without therapy had a significant reduction in epithelial cells, an increase in inflammatory cells, a decrease in goblet cells, and high levels of crypt abnormalities. The parameters in the groups treated with *L.plantarum* and encapsulated with *L.plantarum* declined considerably. In a 2022 publication, Israr Khan et al. demonstrated that *L.plantarum* administration to ulcerative colitis colon cells effectively ameliorated colitis produced by dextran sulfate (DSS) in animals. The positive effects of consuming these bacteria were evident through increased body weight, food and water consumption, and colon length. Additionally, there was a decrease in disease activity index (DAI), inflammatory variables, and histological scores (19). Research conducted by Duary et al. showed that *L.plantarum* *Lp* substantially reduced the expression of TNF- α and COX2 genes by 0.026 and 0.077, respectively, in a mouse model with colitis. Meanwhile, the expression level of 10-IL was considerably upregulated by 813.37 and 337.1 times in mice with colitis and those without colitis treated with *plantarum Lp91* (24).

Conflicts of interest: None

Funding: None

Cite this article as:

Sharifi Ardani G, Arasteh J, Mirzaei A, Lorestani Zadeh G, Mehrjoo HR. The Effect of Niosome-Encapsulated Probiotic Bacteria in the Treatment of Mouse Model of Irritable Bowel Syndrome and Evaluation of IL-10 / TNF- α Cytokines Expression. Razi J Med Sci. 2025(26 Jul);32.82.

Copyright: ©2024 The Author(s); Published by Iran University of Medical Sciences. This is an open-access article distributed under the terms of the CC BY-NC-SA 4.0 (<https://creativecommons.org/licenses/by-nc-sa/4.0/deed.en>).

***This work is published under CC BY-NC-SA 4.0 licence.**

مابع برای مدت زمان ۲۴ ساعت و دمای ۳۷ درجه سانتی‌گراد کشت داده شد. سپس کشت‌ها با دور rpm ۶۰۰۰ به مدت ۲۰ دقیقه سانتی‌فیوژ شدند. سلول‌ها جمع‌آوری شده دو مرتبه با محلول نرمال سالین شسته شده تا غلظت 10^8 cfu/ml به دست آید (۱۶).

تهیه نیوزوم حاوی لاکتوباسیلوس پلانتاروم: نیوزوم‌ها به روش آب پوشانی لایه نازک (Thin film hydration)، تهیه شدند. ابتدا مقادیر مشخصی از کلسترول و اسپین ۶۰ در حلال کلروفورم حل شدند. سپس کاملاً محلول حاصل را هم زده تا اجزا به طور کامل حل شدند. محلول را در بالن روتاری ریخته و تحت شرایط موردنظر (دمای ۶۰ درجه سانتی‌گراد و دور rpm ۱۵۰) تحت خلأ قرار داده شد تا حلال کاملاً تبخیر شود. سپس در مرحله هیدراسیون، به فیلم لپیدی تهیه شده، مقدار ۱۰ میلی‌لیتر بافر فسفات حاوی ۲ میلی‌گرم سوسپانسیون لاکتوباسیلوس پلانتاروم در دمای پایین و با استفاده از استیرر با سرعت rpm ۱۰۰۰ به مدت یک ساعت برای هیدراته شدن مناسب چرخانده شد. پس از اتمام مراحل هیدراسیون، به‌منظور کاهش اندازه ذره‌ای، عمل ورتکس به مدت ۱۰ دقیقه انجام شد.

آنالیز نیوزوم توسط دستگاه طیف سنجی مادون قرمز: در این روش، از نیوزوم‌های فاقد دارو و لاکتوباسیلوس پلانتاروم محصور در نیوزوم استفاده شد. طیف FTIR دو نمونه به صورت جداگانه به دست آمد. نمونه‌ها با KBR مخلوط شده و بر روی صفحه ای فشرده و قرار گرفتند. گروه‌های عاملی در طول موج 400 تا 4000 cm^{-1} مورد بررسی قرار گرفتند و در نهایت طیف FTIR لاکتوباسیلوس محصور شده و نیوزوم فاقد دارو برای بررسی بر همکنش‌های شیمیایی احتمالی با هم مقایسه گردیدند (۱۷).

تعیین سایز، شاخص پراکندگی و پتانسیل زتا نانوذرات: برای بررسی اندازه و پتانسیل زتا نانوذرات از دستگاه پراکندگی نور دینامیکی (Dynamic light scattering -DLS) استفاده شد. در یک محلول، برخورد مولکول‌های کوچک با مولکول‌های حلال، منجر به حرکت تصادفی ذرات می‌شود. حرکت ذرات

مفیدی را در درمان کولیت اولسراتیو در شرایط *in vivo* و *in vitro* نشان داده‌اند. میکروبیوتای روده را تعدیل می‌کند، آپوپتوز سلول‌های روده را مهار می‌کند و همچنین از فعال شدن مسیر سیگنالینگ (NF-kB) جلوگیری می‌کند. بنابراین، مکمل لاکتوباسیلوس پلانتاروم ممکن است یک استراتژی جذاب برای بیماران مبتلا به کولیت اولسراتیو باشد. با این وجود، اطلاعات کمی در مورد مکانیسم‌های کاهش کولیت اولسراتیو با سویه‌های لاکتوباسیلوس پلانتاروم هست (۱۳).

حامل‌های مهندسی شده در مقیاس نانو با هدف عبور از موانع بیولوژیکی، در ایمنی دارو و آزادسازی دوز بهینه آن استفاده می‌شوند. یکی از این حامل‌ها نیوزوم است. پیشرفت‌های اخیر در نانو تکنولوژی درمان هدفمند بیماری‌های حیوانی و انسانی را در عین کاستن عوارض جانبی دارو، ممکن کرده است (۱۴). نیوزوم‌ها وزیکول‌های غیر یونی هستند که از هیدراته شدن یک حلال غیر یونی با مخلوط کردن کلسترول با سایر لیپیدها تشکیل می‌شوند. از سیستم وزیکول آن‌ها می‌توان به عنوان حامل داروی چربی دوست و آمفیفیلیک استفاده کرد. ماهیت غیر یونی آن باعث سمیت کمتری می‌شود و از تاثیر آن بر سلول‌ها جلوگیری می‌کند که منجر به افزایش شاخص درمانی داروی کپسوله شده می‌شود (۱۵).

بنابراین در پژوهش حاضر اثر تعدیل‌کننده لاکتوباسیلوس پلانتاروم محصور شده در مدل موش‌های کولیتی ناشی از اسید استیک با استفاده از RT-PCR مورد بررسی قرار گرفت. هدف اصلی این تحقیق درمان بیماری کولیت با پروبیوتیک محصور در نیوزوم بود. نیوزوم به عنوان یک سیستم تحویل دارویی مناسب، هدفمند و موثر می‌تواند حامل برای میکروارگانیزم پروبیوتیک در نظر گرفته شود.

روش کار

تهیه سوسپانسیون لاکتوباسیلوس پلانتاروم: لاکتوباسیلوس پلانتاروم تهیه شده از مرکز ملی ذخایر ژنتیکی ایران (IBRC-M10817) در محیط MRS

غلظت های تعیین شده از داروی لاکتوباسیلوس پلانتاروم به چاهک‌ها اضافه شد. سپس به مدت ۲۴ ساعت گرماگذاری گردید. پس از دوره انکوباسیون، به هر چاهک ۱۰ میکرولیتر از محلول MTT اضافه شد و پلیت به مدت ۳ ساعت انکوبه شد. پس از گذشت زمان انکوباسیون، محیط کشت چاهک‌ها به طور کامل تخلیه گردید و ۱۰۰ میکرولیتر حلال DMSO به هر چاهک اضافه شد. در نهایت پلیت موردنظر به مدت یک ساعت در انکوباتور و تاریکی قرار داده شد و پس از اتمام زمان انکوباسیون میزان جذب چاهک‌ها توسط دستگاه الیزاید در طول موج ۵۷۰ نانومتر خوانده شد (۱۹).

بررسی میزان محصور سازی نیوزوم: ۵۰۰ میلی گرم از باکتری‌های لاکتوباسیلوس پلانتاروم محصور شده در نیوزوم به وسیله همگن کردن در ۳/۵ میلی لیتر محلول استریل سدیم سیترات pH=۶ و مخلوط شدن در دور بالا به مدت ۵ لاکتوباسیلوس پلانتاروم آزاد شده به روش پورپلیت روی محیط (De Man-Rogosa-Sharpe agar=MRS) جامد کشت شده و برای ۴۸ ساعت در دمای ۳۷ درجه سانتی گراد در انکوباتور قرار گرفت.

درصد محصور سازی باکتری لاکتوباسیلوس پلانتاروم از رابطه زیر محاسبه شد:

$$EY=(N/N_0)\times 100$$

N، تعداد لاکتوباسیلوس پلانتاروم‌های آزاد شده،
N₀، تعداد لاکتوباسیلوس در سوسپانسیون اولیه، EY،
درصد محصور سازی (۲۰).

حیوانات مورد مطالعه: این مطالعه به صورت تجربی - پژوهشی از بهمن ماه ۱۴۰۱ تا شهریورماه ۱۴۰۲ در دانشگاه تهران مرکز انجام شد. مطالعه بر روی ۱۶ موش‌های صحرایی نر نژاد ویستار (تهیه شده از دانشگاه تهران) نگهداری در دمای ۱۸-۲۳ درجه سانتی‌گراد، رطوبت ۵۰٪ و با ۱۲ ساعت سیکل روشنایی- تاریکی انجام شد. این پژوهش با مجوز شماره IR.IAU.CTB.REC.1401.127 کمیته اخلاق دانشگاه آزاد اسلامی تهران مرکز انجام شد.

کوچک در یک سیال را حرکت براونی گویند. اندازه و پراکندگی نانوذرات با این دستگاه بررسی می‌شود. بار سطحی وزیکول‌ها نقش مهمی در عملکرد نیوزوم‌ها در بدن ایفا می‌کند و پایداری آن را تعیین می‌کند. میزان پتانسیل زتا با دستگاه زتا سایزر بررسی می‌شود. پتانسیل زتا که به عنوان پتانسیل الکتریکی نیز شناخته می‌شود حداکثر انرژی سطحی یک ذره کلونیدی است که در یک میدان الکتریکی حرکت می‌کند (۱۸). پس از سنتز نانوذرات، نمونه‌های تهیه شده از فیلتر ۰/۲ میکرومتری عبور داده و توسط دستگاه آنالیز شدند. میزان بار سطحی لاکتوباسیلوس پلانتاروم محصور شده در نیوزوم، توسط زتاسایزر بررسی شد.

تصویر برداری از نیوزوم: برای بررسی مورفولوژی، مشخصات بهینه فرمول لاکتوباسیلوس پلانتاروم محصور شده در نیوزوم با استفاده از میکروسکوپ الکترونی روبشی (Scanning Electron Microscope - SEM) با توان ۲۵ کیلووات تصویربرداری شد. آماده سازی نمونه برای تصویر برداری، قطره ای از محلول لاکتوباسیلوس پلانتاروم محصور شده در نیوزوم روی لام گذاشته شد، در مجاورت هوا خشک شده و یک لایه نازک تشکیل شود سپس لامل بر روی نمونه قرار گرفت.

بررسی سمیت سلولی و زنده مانی سلول:

با روش MTT می‌توان سرعت تکثیر، کاهش سرعت تکثیر سلولی یا میزان مرگ سلولی را اندازه گیری کرد. فیبروبلاست‌های پوست ختنه‌گاه انسان (Human Foreskin Fibroblasts =HFF) در غلظت‌های ۰.۰۵، ۰.۱، ۰.۲، ۰.۲۵ میلی گرم بر میلی لیتر توسط داروی لاکتوباسیلوس پلانتاروم محصور در نیوزوم و داروی لاکتوباسیلوس پلانتاروم در پلیت‌های ۹۶ چاهی، تیمار و مورد بررسی قرار گرفتند. برای این منظور ابتدا ده هزار سلول HFF به هر چاهک ۹۶ خانه ای ۱۰۰ میکرولیتر محیط اضافه شد. سپس پلیت مورد نظر برای ۴۸ ساعت در انکوباتور CO₂ دار، رطوبت ۱۰۰ درصد و دمای ۳۷ درجه سانتی‌گراد گرماگذاری گردید. پس از گذشت زمان مورد نظر،

روش القا کولیت با اسید استیک و گروه درمانی:

حیوانات در شرایطی که به مدت ۲۴ ساعت در حالت ناشتا بوده و تنها امکان مصرف آب فراهم بود، نگهداری شدند. موش‌ها با استفاده از تزریق داخل صفاقی کتامین بی‌هوش شدند و سپس کولیت با یک میلی لیتر اسید استیک ۲ درصد انجام شد. بعد از گذشت ۴۸ ساعت و القای کامل کولیت درمان حیوانات به وسیله گاواژ داخل معدی آغاز و به مدت ده روز درمان ادامه یافت. در پایان روز دهم حیوانات به وسیله اتر بی‌هوش و کولون حیوانات خارج شد.

موش‌ها به صورت تصادفی به چهار گروه چهارتایی تقسیم شدند که به شرح زیر است: گروه دریافت کننده لاکتوباسیلوس پلانتراروم محصور شده در نیوزوم با دوز 10^8 cfu/ml، گروه سالم، گروه کولیت، گروه دریافت کننده لاکتوباسیلوس پلانتراروم با دوز 10^8 cfu/ml.

بررسی میزان التهاب و آسیب بافت کولون به صورت ماکروسکوپی:

موش‌ها در روز تعیین شده در گروه‌های مختلف درمانی توسط اوردوز اتر کشته شدند، شکم حیوان باز شده و به میزان ۸ سانتی‌متر از بافت کولون، به فاصله ۲ سانتی‌متر از مقعد، جدا شده و به طور طولی باز شده و با نرمال سالین شستشو داده شد. شدت زخم پس از آنکه بافت بر روی

صفحه ای مسطح ثابت شد، بر اساس شماره‌های زیر از ۰ تا ۳ درجه بندی گردید: ظاهر طبیعی بدون زخم: ۰، اریتم و التهاب بدون زخم: ۱، وجود التهاب و زخم: ۲، زخم خونریزی دهنده و نکروز: ۳

بررسی میزان التهاب و آسیب بافت کولون به

صورت میکروسکوپی: بخش‌های مختلف کولون برای بررسی بافت شناسی در فرمالین ۱۰٪ تثبیت شده و در بلوک‌های پارافینی قالب گیری شدند. سپس چهار برش از هر نمونه با هماتوکسیلین-اِئوزین رنگ آمیزی شدند. لام‌ها برای هر گروه مورد بررسی قرار گرفت و عکس‌های دیجیتالی از سطح مقطع با کمک میکروسکوپ تهیه شدند. قطعات رنگ‌آمیزی شده از لحاظ میزان آسیب و التهاب بافتی درجه بندی شدند که این آسیب و التهاب با چهار پارامتر ذیل امتیازدهی شدند: ۱- تخریب سلول‌های اپیتلیال: (بدون آسیب=۰، تخریب اپیتلیالی ۰-۵٪=۱، تخریب اپیتلیالی ۵-۱۰٪=۲، تخریب اپیتلیالی بیشتر از ۱۰٪=۳) از بین رفتن کریپت: (بدون آسیب=۰، از بین رفتن ۰-۱۰٪=۱، از بین رفتن ۱۰-۲۰٪=۲، از بین رفتن بیشتر از ۲۰٪=۳) -۳ از دست رفتن سلول‌های گابلت روده‌ای: (بدون تغییر=۰، خفیف=۱، متوسط=۲، شدید=۳)، ۴-افزایش سلول‌های آماسی: (بدون تغییر=۰، خفیف=۱، متوسط=۲، شدید=۳).

استخراج RNA، سنتز cDNA و اندازه‌گیری

بیان ژن‌ها با Real Time PCR نمونه‌های بافت کولون از تمامی نمونه‌ها، جمع آوری شد. سپس مراحل استخراج RNA با استفاده از محلول تریزل (RNA Ytzol pure) و Rnaesy انجام شد. غلظت RNA در طول موج ۲۶۰ نانومتر و با اسپکتروفتومتری انجام گرفت. سپس از RNA به دست آمده و با استفاده از کیت سینا کلون (synthesis Kit)

جدول ۱- توالی و مشخصات پرایمرهای اختصاصی

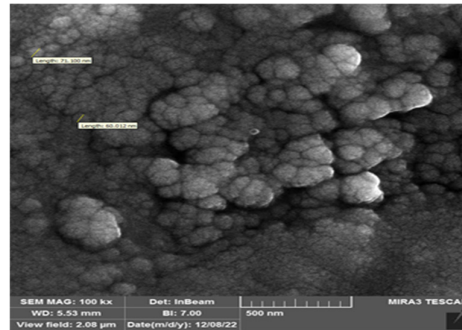
Primer	Primer sequence (5' _3')	Annealing Temperature c	Per product
TNF- α Forward	CCCGAGTGACAAGCCTGTAG	51	271bp
Reverse	GATGGCAGAGAGGAGGTTGAC		
IL-10 Forward	ACAGCCACTCACCTCTTCAG	55	168bp
Reverse	CCATCTTTTTTCAGCCATCTTT		
B-actin Forward	ACCACAGTCCATGCCATCAC	55-60	453bp
Reverse	TCCACCACCCTGTTGCTGTA		

داده‌ها به صورت میانگین \pm انحراف معیار گزارش شده اند. داده‌های خام با استفاده از برنامه Graphpad Prism و آزمون آماری test-T آنالیز شدند. میزان $p < 0.05$ معنی‌دار تلقی شد.

یافته‌ها

نتایج میکروسکوپ الکترونی نگاره (SEM):
آنالیز SEM نشان داد که ذرات به صورت آگلومره و به هم چسبیده با سطح غیر صاف بودند و به نظر می‌رسد نیوزوم‌های حاوی لاکتوباسیلوس پلانتاروم مورفولوژی شبیه به کره با لبه‌های ناهموار داشته باشند و اندازه آن‌ها در محدوده نانو باشد (شکل ۱).
بررسی اندازه و میزان بار سطحی: علاوه بر این، لاکتوباسیلوس پلانتاروم محصور شده در نیوزوم دارای

CDNA (Cdna) سنتز شد. توالی نوکلئوتیدی پرایمر فوروارد و توالی نوکلئوتیدی پرایمر ریورس مکمل ژن های IL-10 و TNF- α در موش از طریق نرم افزار Oligo7 (سایت NCBI) بررسی شد تا از اختصاصی بودن محل اتصال پرایمرها اطمینان حاصل شود. مطابق جدول ۱ در پایان با استفاده از پرایمرها و ژن‌های اختصاصی TNF- α ، IL-10 و ژن β -actin که به عنوان ژن کنترل داخلی استفاده شد، تکنیک Real time PCR انجام شد. واکنش PCR time Real برای تکثیر ژن‌های TNF- α و IL-10 ۱۰ میکرولیتر سایبرگرین، ۱ میکرولیتر cDNA Template، ۷/۷ میکرولیتر آب مقطر و پرایمر اختصاصی در دمای ۶۳ درجه سانتی‌گراد انجام شد.
تجزیه و تحلیل داده‌ها: در این مقاله تمامی



شکل ۱- تصاویر میکروسکوپ SEM لاکتوباسیلوس پلانتاروم محصور شده در نیوزوم.

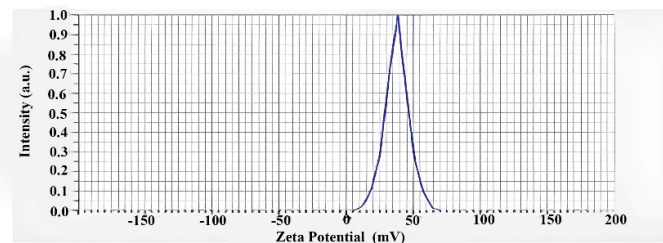
SZ-100

Measurement Results

Measurement Type	: Zeta Potential
Sample Name	: NI-Lactobacillus
Temperature of the Holder	: 26.2 °C
Dispersion Medium Viscosity	: 0.802 mPa.S
Conductivity	: 0.005 mS/cm
Electrode Voltage	: 3.8 V

Calculation Results

Peak No.	Zeta Potential	Electrophoretic Mobility
1	37.8 mV	0.0007293 cm ² /Vs
2	... mV	... cm ² /Vs
3	... mV	... cm ² /Vs

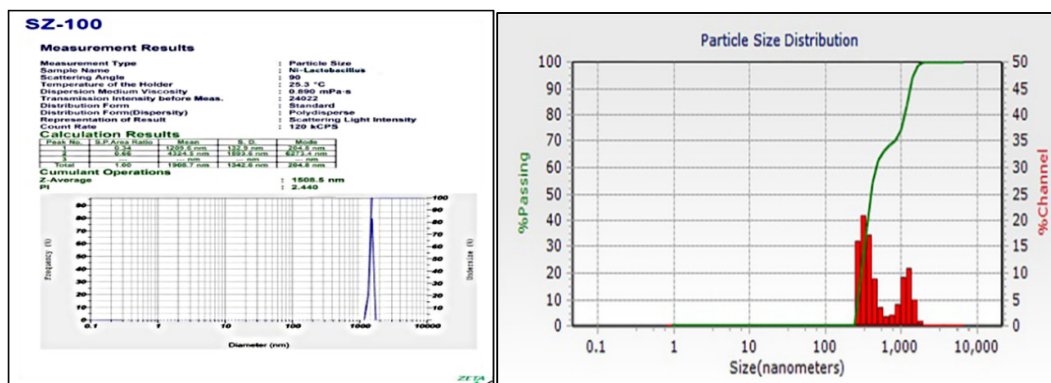


شکل ۲- نتایج پتانسیل زتا لاکتوباسیلوس پلانتاروم محصور شده در نیوزوم

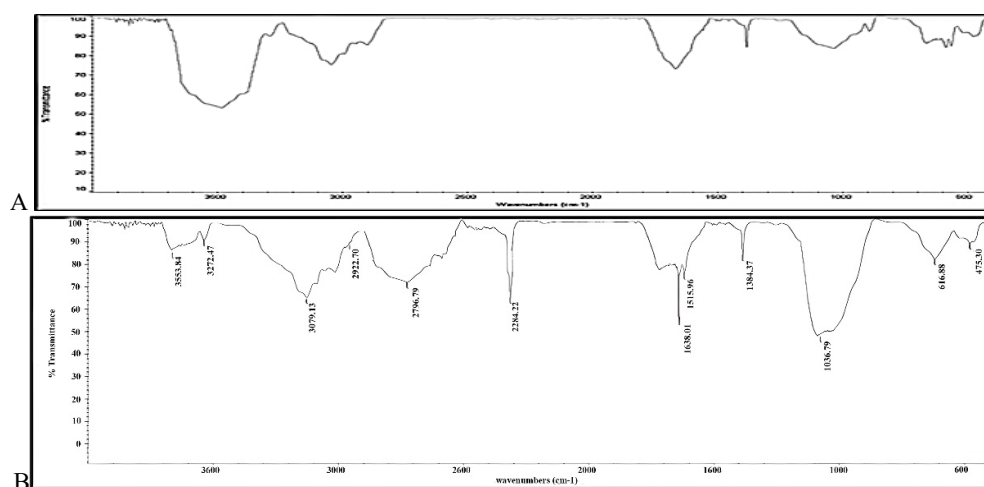
C-O، کشش C-H و کشش OH در ساختار Tween60 و Span60 بود و وجود کلسترول با استفاده از پیک شارپ در ناحیه 1377 cm^{-1} ، و 1677 cm^{-1} که به ترتیب مربوط به خمش و دفرماسیون CH_2 ، و کشش $\text{C}=\text{C}$ تایید شد. هم چنین سنتز نیوزوم با مشاهده پیک $1000-1250\text{ cm}^{-1}$ که مربوط به کشش آلیفاتیک C-N بود، تایید شد (شکل ۴-A). در فرمولاسیون نیوزوم حاوی باکتری، پیک بزرگ در فرکانس 1036 cm^{-1} مربوط به ارتعاش متقارن $\text{P}=\text{O}$ در ساختار باکتری می باشد. جابه جایی پیک در ناحیه 616 cm^{-1} به دلیل بارگذاری باکتری در ساختار نیوزوم است که مربوط به خمش آروماتیک C-H می باشد. جابه جایی پیک در فرکانس 1515 و 1638 cm^{-1} نسبت به نیوزوم بلانک، نشان دهنده بارگذاری

بار سطحی مثبت با پتانسیل زتا $37/8$ میلی ولت (میانگین حرکت الکترواستاتیک: $0/00293$) است. پتانسیل زتا برای ارزیابی پایداری و پراکندگی نانوذرات مهم می باشد. علاوه بر این، ذرات با بار مثبت کارایی زیادی در نفوذ و درونی شدن غشای سلولی دارند و پایداری بالایی از خود نشان می دهند (شکل ۲). مطالعه DLS نیز نشان دهنده قطر دینامیکی لاکتوباسیلوس پلانتاروم محصور شده، Z -average برابر $1508/5$ نانومتر (میانگین مشخص نیست) و با PDI $2/44$ بودند که پراکندگی بالای ذرات را از هم نشان می دهد (شکل ۳).

بررسی طیف های مادون قرمز حاصل از آنالیز FTIR وجود پیک های 1125 cm^{-1} ، $2800-3800\text{ cm}^{-1}$ و 3452 cm^{-1} به ترتیب نشان دهنده کشش



شکل ۳- نتایج بررسی اندازه ذرات لاکتوباسیلوس پلانتاروم محصور شده در نیوزوم

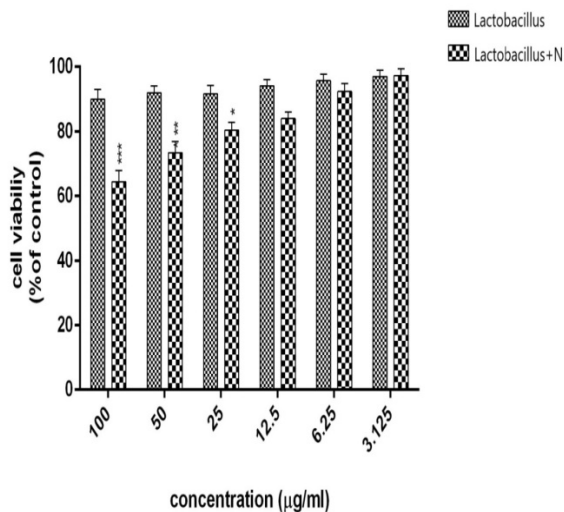


شکل ۴- طیف های مادون قرمز حاصل از آنالیز به روش طیف سنجی مادون قرمز (A) نیوزوم (B) لاکتوباسیلوس پلانتاروم محصور شده در نیوزوم.

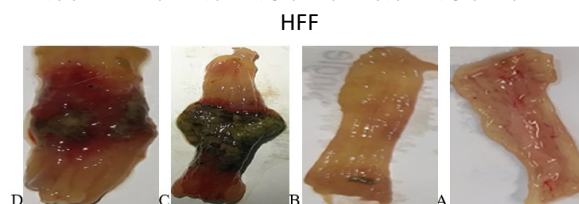
می باشد. به طور کلی بارگذاری پروبیوتیک در ساختار نیوزومی با استفاده از بررسی وجود پیک های مربوط به پروبیوتیک تازه و جابه جایی پیک های اصلی مربوط به نیوزوم تایید شد (شکل ۴-B).

نتایج سیتوتوکسیک داروی لاکتوباسیلوس پلانتاروم محصور شده در نیوزوم: به منظور بررسی سمیت سلولی دارو لاکتوباسیلوس پلانتاروم محصور

عنصر خارجی (باکتری) در ساختار نیوزوم است که باندهای تشکیل شده بین ۱۵۰۰-۱۷۰۰ مربوط به نواحی آمیدی یا پروتئینی است. وجود پیک بین ۲۷۹۶ cm-1 تا ۳۰۷۹ cm-1 مربوط به وجود نواحی حاوی اسید چرب و پیوندهای شیمیایی بین چربی ها در لایه چربی باکتری پروبیوتیک می باشد که مربوط به باندهای ارتعاشی CH_2 و $C=CH$ در اسیدهای چرب



شکل ۵- بررسی اثر غلظت های مختلف لاکتوباسیلوس پلانتاروم و لاکتوباسیلوس پلانتاروم محصور شده در نیوزوم به مدت ۲۴ ساعت بر روی رده ی سلولی



شکل ۶- بافت کولون گروه های درمانی (ماکروسکوپیکی (A) گروه سالم (B) گروه کولیت (C) دوز 10^8 cfu/ml لاکتوباسیلوس پلانتاروم (D) دوز 10^4 cfu/ml لاکتوباسیلوس پلانتاروم محصور شده در نیوزوم

جدول ۲- نتایج ارزیابی میکروسکوپیکی و ماکروسکوپیکی در گروه های درمانی ۱۰ روز بعد از القای کولیت توسط اسید استیک ۲٪

گروه ها	تخریب سلول های اپیتلیال	تخریب کریبت	از بین رفتن سلول های گابلت روده	افزایش سلول های آماسی	ماکروسکوپی
کولیت	4.0 ± 0.0	3.0 ± 0.0	3.0 ± 0.0	3.0 ± 0.0	4.0 ± 0.0
سالم	0.0 ± 0.0	0.0 ± 0.0	0.0 ± 0.0	0.0 ± 0.0	0.0 ± 0.0
لاکتوباسیلوس پلانتاروم	1.05 ± 0.02	2.04 ± 0.02	2.02 ± 0.01	2.03 ± 0.01	2.17 ± 0.04
Lp محصور شده در نیوزوم	1.04 ± 0.01	2.04 ± 0.01	1.04 ± 0.01	2.0 ± 0.0	1.80 ± 0.04

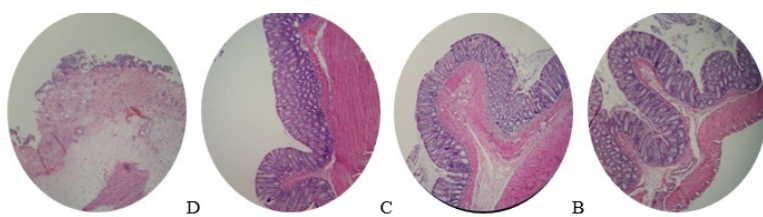
مقادیر به صورت میانگین \pm خطای معیار گزارش شده است. $P < 0.05$ معنی دار می باشد.

گردید. برحسب داده های به دست آمده تعداد باکتری های محصور شده ۸۰٪. تعداد باکتری های زنده اولیه شد.

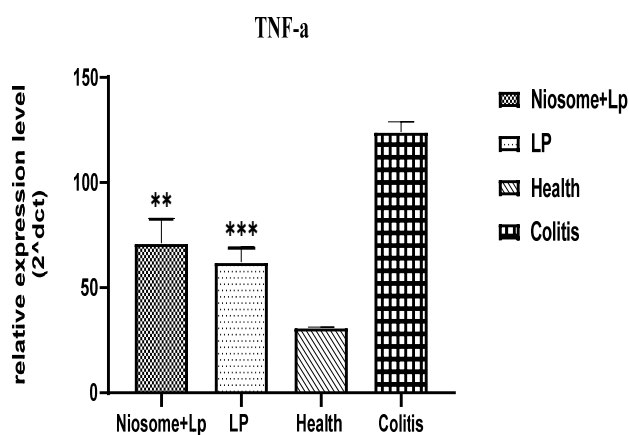
نتایج ماکروسکوپی و میکروسکوپی بافت کولون: پس از ارزیابی کولون، گروه سالم بدون آسیب بافتی و خونریزی مشاهده شد (شکل ۶- A) و گروه کولیت نکروز بافتی را در سطح وسیعی همراه با خونریزی نشان داد (شکل ۶- B) که تفاوت معنی داری ($P < 0.05$) با گروه سالم داشت (جدول ۲). در سطح میکروسکوپی از بین رفتن بافت اپیتلیال کاهش تعداد سلول های گابلت، آسیب کریپتی و افزایش سلول های التهابی در مقاطع میکروسکوپی کولون در گروه کولیت مشاهده گردید (شکل ۷- D). مقایسه ی نمرات

شده در نیوزوم از غلظت های ۳.۱۲۵، ۶.۲۵، ۱۲.۵، ۲۵، ۵۰، ۱۰۰ میکروگرم/میلی لیتر با استفاده از تست MTT طی مدت ۲۴ استفاده شد. نتایج نشان می دهد که داروی لاکتوباسیلوس پلانتاروم محصور شده در نیوزوم در غلظت های ۱۰۰ میکروگرم دارای قدرت کشندگی بیشتری نسبت به دارو لاکتوباسیلوس پلانتاروم تنها می باشد که از لحاظ آماری معنی دار بوده است ($p < 0.001$). نتایج حاصل از بقای سلول ها در مدت زمان ۲۴ ساعت در (شکل ۵) نشان داده شده است.

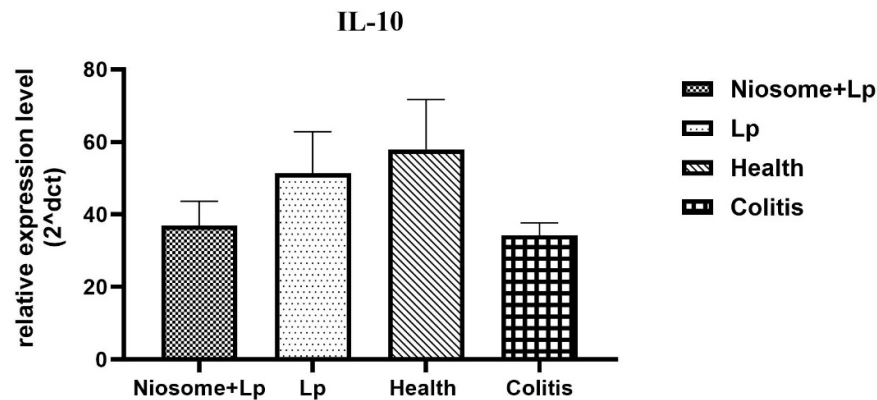
نتایج حاصل از محصور سازی لاکتوباسیلوس پلانتاروم در نیوزوم: تعداد اولیه باکتری های زنده قبل از محصور سازی 1.5×10^8 cfu/ml محاسبه



شکل ۷- تصاویر میکروسکوپی بافت کولون رنگ آمیزی شده با هماتوکسیلین وانوزین، گروه سالم (A)، گروه دریافت کننده لاکتوباسیلوس پلانتاروم (B)، گروه دریافت کننده لاکتوباسیلوس پلانتاروم محصور شده در نیوزوم (C)، گروه کولیت (D)



شکل ۸- میزان بیان تومور نکروز دهنده فاکتور آلفا (TNF-α) در بافت کولون در گروه های مورد مطالعه (N=4). داده ها به صورت *** ($P < 0.001$)، * ($P < 0.05$) در مقایسه با گروه کولیت اولسراتیو گزارش شدند.



شکل ۹- میزان بیان اینترلوکین ۱۰ (IL-10) در بافت کولون گروه‌های مورد مطالعه (N=4). داده‌ها به صورت *** (P<0.001)، * (P<0.05) در مقایسه با گروه کولیت اولسراتیو گزارش شدند.

ماکروسکوپی، درجه‌ی آسیب و التهاب در مختلف (جدول ۲) نشان داد که بالاترین نمرات درجه‌ی آسیب مربوط به گروه کولیت است. مصرف لاکتوباسیلوس پلانتاروم محصور شده در نیوزوم و لاکتوباسیلوس پلانتاروم باعث کاهش معنی‌دار (P<۰.۰۵) آسیب‌های ماکروسکوپی نسبت به گروه کولیت گردید. در سطح میکروسکوپی نیز موجب بازگشت بافت اپیتلیوم، افزایش تعداد سلول‌های گابلت، کاهش سلول‌های التهابی و کاهش آسیب کریپتی گردید (جدول ۲).

نتایج آنالیز بیان سایتوکاین TNF- α و IL-10 در گروه‌های تیماری در مقایسه با گروه کولیت: نتایج حاصل از اندازه‌گیری TNF- α و IL-10 در اشکال ۸ و ۹ خلاصه شده است. با توجه به این نمودار در بافت کولون موش‌های صحرایی نر، میزان TNF α در گروه لاکتوباسیلوس پلانتاروم (دوز ۱۰^۸cfu/ml) اختلاف معنی‌داری با گروه کولیت داشت (P<0.0001). سطح TNF- α در موش‌های درمان شده با لاکتوباسیلوس پلانتاروم محصور شده در نیوزوم (دوز ۱۰^۸cfu/ml) نسبت به گروه کولیت پایین‌تر بود (P<0.002). غلظت IL-10 در گروه کولیت کاهش یافت، اما تغییر معنی‌داری را در مقایسه با گروه سالم نشان نداد (P<0.12). هم‌چنین بیان IL-10 در لاکتوباسیلوس پلانتاروم محصور شده در نیوزوم (دوز

۱۰^۸ cfu/ml) نسبت به گروه کولیت تغییر معنی‌داری نداشت (P<0.73).

بحث

IBD به التهاب مخاطی و سیستمیک اشاره دارد که عمدتاً در روده بزرگ رخ می‌دهد، مانند کولیت اولسراتیو یا هر نقطه از دستگاه گوارش مانند کرون. دلیل چنین واکنش التهابی عدم تحمل ایمنی مخاط و به ویژه عدم تعادل بین سایتوکاین ضد التهابی IL-10 و سایر سایتوکاین‌ها است. انواع مختلفی از درمان برای IBD وجود دارد، اما عدم پاسخ به درمان و بروز عوارض جانبی توسط برخی از بیماران تجربه می‌شود. در میان جدیدترین درمان‌های امیدوارکننده برای IBD، درمان با تجویز خوراکی باکتری‌های اسید لاکتیک می‌باشد. با این حال، هنوز مشخص نیست که مکانیسم‌های خاص و نقش‌های درمانی باکتری‌ها چگونه با هم مرتبط هستند، بنابراین بالینی شدن این درمان مورد بحث است (۲۱).

این مطالعه به منظور بررسی سطح بیان سایتوکاین پیش‌التهابی TNF- α و ضد‌التهابی IL-10 در بافت کولون موش صحرایی نر کولیتی تحت درمان با لاکتوباسیلوس پلانتاروم و لاکتوباسیلوس پلانتاروم محصور شده در نیوزوم با دوز ۱۰^۸ cfu/ml برای اولین

بار برای پروبیوتیک استفاده شده است، طراحی شد. این مطالعه نشان می دهد که لاکتوباسیلوس پلانتراروم محصور شده، سایتوکاین IL-10 را که در القای کولیت کاهش یافته بود، به طور غیرمعنی داری افزایش داد و همچنین سایتوکاین TNF- α را که در مراحل القای کولیت افزایش یافته بود، به طور معنی داری نسبت به گروه کولیت (بیمار بدون درمان) کاهش داد، اما نشانه کارایی نانو حامل به عنوان حامل مناسب در درمان کولیت اولسراتیو حاد در موش صحرایی مشاهده نشد.

مطالعه حاضر نشان داد که نکروز سلول های اپیتلیال، افزایش سلول های آماسی، از دست رفتن سلول های گابلت، از بین رفتن کریپت ها در گروه کولیت (بیمار بدون درمان) به طور قابل توجهی بیشتر از گروه های تحت درمان با لاکتوباسیلوس پلانتراروم و لاکتوباسیلوس پلانتراروم محصور شده در نیوزوم بود. این پارامترها در گروه های تحت درمان کاهش یافت و این کاهش در هر دو گروه به صورت معناداری مشاهده شد. در گزارشی که در سال ۲۰۲۲ منتشر شد اسرار خان و همکاران تیمار سلول های کولون دارای کولیت اولسراتیو با لاکتوباسیلوس پلانتراروم به طور قابل توجهی کولیت ایجاد شده با سولفات دکستران (DSS) را در موش ها بهبود می بخشد که به صورت افزایش وزن بدن، مصرف آب، مصرف غذا و طول روده بزرگ و کاهش شاخص فعالیت بیماری (Disease activity index=DAI)، عوامل التهابی و نمرات هیستوپاتولوژیک پس از مصرف این باکتری آشکار می شود (۲۲).

TNF- α یک سایتوکاین پیش التهابی قدرتمند است و به نظر می رسد که در پاتوژنز بیماری IBD نقش مهمی دارد. اهمیت TNF- α در پاتوژنز کولیت اولسراتیو توسط نتایج مهم به دست آمده از آزمایش های بالینی مشخص شده است. همچنین سطح TNF- α با شدت بیماری ارتباط دارد. نتایج بالینی مفیدی به دنبال ایمونوتراپی که باعث کاهش و یا مهار تولید TNF- α می شود، در بیماری IBD گزارش شده است (۲۳ و ۲۴). سایتوکاین IL-10 یک سایتوکاین سرکوب کننده سیستم ایمنی است که توسط انواع

لکوسیت ها و سلول های غیر خونی تولید می شود و نقش مهمی در تنظیم هوموستاز مخاط روده و جلوگیری از بیماری IBD دارد. با این حال، طبق مقالات منتشر شده، میزان IL-10 در بافت ملتهب روده افزایش می یابد (۲۵ و ۲۶).

مطالعه مشابهی در خصوص مصرف لاکتوباسیلوس پلانتراروم محصور شده در نیوزوم در مدل کولیت مشاهده نشد. در مطالعاتی که توسط دوازی و همکاران انجام شد، نشان دادند که Lp 91 لاکتوباسیلوس پلانتراروم باعث کاهش قابل توجهی از بیان ژن های TNF-a و COX2 به میزان ۰/۰۲۶ و ۰/۰۷۷ در یک مدل موش دارای کولیت گردید. در این پژوهش تفاوت معنی داری در بیان سایتوکاین IL-12a در موش های کولیت که با Lp91 لاکتوباسیلوس پلانتراروم تحت درمان گشته بودند، نیز مشاهده نشد. در ضمن سطح بیان IL-10 به طور قابل توجهی تا ۳۷/۸۱۳ و ۱/۳۲۷ برابر در موش های دارای کولیت و موش های غیر کولیت تیمار شده با Lp91 لاکتوباسیلوس پلانتراروم تنظیم شد. این در حالی است که سایر نشانگرهای ضدالتهابی مانند COX1، IL-4 و IL-6 به طور قابل توجهی در موش کولیت تحت درمان با Lp91 لاکتوباسیلوس پلانتراروم تنظیم مثبت شدند. همچنین بیان ژن MUC2 به طور قابل توجهی در گروه غیر کولیت به ۲/۲۱۶ برابر افزایش یافت (۲۷).

در مطالعات دیگر یو و همکاران در سال ۲۰۲۰ نشان دادند که L15 لاکتوباسیلوس پلانتراروم دارای بالاترین تحمل، چسبندگی و کاهش توانایی های پیش التهابی در مقایسه با سایر سویه های غربال شده است. در داخل بدن، دوز بالای مکمل L15 لاکتوباسیلوس پلانتراروم باعث افزایش وزن بدن، طول روده بزرگ و تولید سایتوکاین ضد التهابی شد. تولید سایتوکاین پیش التهابی، سطح شاخص فعالیت بیماری (DAI) و پارامترهای میلوپراکسیداز (۱) با استفاده از این سویه کاهش یافت (۲۸).

در این مطالعه، لاکتوباسیلوس پلانتراروم محصور در نیوزوم به روش هیدراسیون لایه نازک تهیه شد. بررسی نتایج فیزیکی و شیمیایی نشان داد که نانوذرات

کپسولاسیون بیشتر از مزیت‌های مطالعه حاضر نسبت به مطالعه حسینی و همکاران است، اما اندازه کوچک تر از ویژگی های مطلوب مطالعه حسینی نسبت به مطالعه حاضر می‌باشد.

در سال ۲۰۱۹ اخلاقی و همکاران، نانوذره نیوزومی حاوی عصاره گیاه شیرین بیان با ویژگی‌های فیزیکی و شیمیایی همچون اندازه ۹۰.۷ نانومتر، پتانسیل زتای ۲۱.۲- تا ۱.۶۴ میلی ولت و درون گیری ۳۶/۵۵٪ سنتز کردند (۳۴). از مزیت‌های مطالعه حاضر نسبت به مطالعه اخلاقی و همکاران می‌توان به بار سطحی مطلوب تر و محصور سازی بیشتر اشاره کرد، اما اندازه بزرگ تر از ضعف‌های مطالعه حاضر نسبت به مطالعه اخلاقی است.

نتیجه‌گیری

به طور خلاصه نتایج مطالعه حاضر نشان می‌دهد لاکتوباسیلوس پلانتاروم در درمان کولیت ناشی از اسید استیک در مدل آزمایشگاهی موش صحرایی موثر است. درحالی که استفاده از نانو حامل‌ها همراه با لاکتوباسیلوس پلانتاروم، اثر بخشی لاکتوباسیلوس پلانتاروم در درمان کولیت اولسراتیو افزایش نمی‌دهد. لاکتوباسیلوس پلانتاروم به عنوان یک فرآورده طبیعی و ارزان قیمت با خاصیت ضد کولیت می‌تواند جایگزین مناسبی، برای داروهای فعلی در نظر گرفته شود. با این حال مطالعات بیشتری برای تایید این فرضیه پیش از استفاده بالینی مورد نیاز است.

تقدیر و تشکر

از تمامی عزیزانی که ما را در انجام و نگارش این پژوهش یاری کردند، صمیمانه سپاسگزاریم.

ملاحظات اخلاقی

مقاله حاضر مستخرج از رساله کارشناسی ارشد بوده که در کمیته اخلاق دانشگاه آزاد واحد تهران مرکزی با کد IR.IAU.CTB.REC.1401.127 تصویب شد.

نیوزومی سنتز شده دارای راندمان کپسولاسیون ۸۰٪ است. راندمان کپسوله سازی یکی از پارامترهای نانوذرات است که به عوامل مهمی مانند اندازه ذرات، ماهیت ماده محصور شده، نوع لیپیدهای مصرفی و غلظت آن‌ها در ترکیب نانوذرات بستگی دارد (۲۹). در گزارشی که در سال ۲۰۱۹ منتشر شد، سلطانی و همکارانش اعلام کردند که موفق به ساخت نانو ذره نیوزومی حاوی اسانس رزماری با راندمان کپسولاسیون ۸۶.۷۵٪ شدند (۳۰). نتایج مطالعه حاضر نیز از نظر میزان محصور سازی نزدیک به نتایج گزارش شده توسط سلطانی بود. بررسی‌های طیف FTIR برهم کنش نیوزوم سنتز شده با لاکتوباسیلوس پلانتاروم را رد کرد و حفظ ماهیت لاکتوباسیلوس پلانتاروم و نیوزوم پس از محصور سازی آن را تایید کرد. نتایج SEM نیز مورفولوژی مناسب را تایید کرد و نشان داد که ذرات آن به صورت آگلومره و بهم چسبیده با سطح غیرصاف بودند و به نظر می‌رسد نیوزوم‌های حاوی لاکتوباسیلوس پلانتاروم مورفولوژی شبیه به کره با لبه‌های ناهموار داشته و اندازه آن‌ها در محدوده نانو باشد که نتایج آن با ووتس و همکاران ۲۰۱۹ همسو است (۳۱). بررسی‌های DLS حاکی از این بود که اندازه این نانوذرات ۱۵۰.۸۵ نانومتر و شاخص پراکندگی آن برابر با ۲.۴۴ بود. همچنین مشخص شد که نانوذره سنتز از نوع کاتیونی بار مثبت بوده و پتانسیل زتای آن نیز برابر با ۳۷.۸ میلی ولت بود که این بار مثبت کارایی زیادی در نفوذ و درونی شدن غشای سلولی دارند و پایداری بالایی از خود نشان می‌دهند که نتایج مطالعات شعاعی و همکاران ۲۰۲۲ و همچنین صادقی قدی و همکاران در سال ۲۰۲۱ دارای همسویی است (۳۲ و ۳۳). عدم سمیت نانوذره بر روی سلول‌های نرمال نیز با توجه به نتایج تست MTT تایید گشت.

در سال ۲۰۲۰ حسینی و همکاران لیپوزوم‌های حاوی لاکتوباسیلوس رامنسوس با اندازه ۳۷۳.۲ نانومتر، راندمان کپسولاسیون ۸۱.۸٪ سنتز کردند که پوشش الکترولیتی استفاده شده اندازه و راندمان کپسوله را مقداری افزایش داد (۱۶). راندمان

مشارکت نویسندگان

غزاله شریفی اردانی انجام تحقیق و نگارش مقاله، جواد آراسته و امیر میرزایی نظارت کامل بر انجام تحقیق و تجزیه و تحلیل و تفسیر داده‌ها، غزاله لرستانی زاده و حمیدرضا مهرجو در ویراستاری و پاسخ داوری نقش داشتند.

References

1. Alimentary pharmacology & therapeutics. 1997;11(5):853-8.
10. Kruis W. Maintenance of remission in ulcerative colitis is equally effective with Escherichia coli Nissle 1917 and with standard mesalamine. *Gastroenterology*. 2001;120:A-127.
11. Rolfe RD. The role of probiotic cultures in the control of gastrointestinal health. *The Journal of nutrition*. 2000;130(2):396S-402S.
12. Schultz M, Sartor RB. Probiotics and inflammatory bowel diseases. *The American journal of gastroenterology*. 2000;95(1):S19-S21.
13. Yu P, Ke C, Guo J, Zhang X, Li B. Lactobacillus plantarum L15 alleviates colitis by inhibiting LPS-mediated NF- κ B activation and ameliorates DSS-induced gut microbiota dysbiosis. *Frontiers in Immunology*. 2020;11:575173.
14. Mozafari M, Pardakhty A, Azarmi S, Jazayeri J, Nokhodchi A, Omri A. Role of nanocarrier systems in cancer nanotherapy. *Journal of liposome research*. 2009;19(4):310-21.
15. Stevenson CL, Santini Jr JT, Langer R. Reservoir-based drug delivery systems utilizing microtechnology. *Advanced drug delivery reviews*. 2012;64(14):1590-602.
16. Hosseini SF, Ansari B, Gharsallaoui A. Polyelectrolytes-stabilized liposomes for efficient encapsulation of Lactobacillus rhamnosus and improvement of its survivability under adverse conditions. *Food Chemistry*. 2022;372:131358.
17. Uthaiwat P, Priprem A, Puthongking P, Daduang J, Nukulkit C, Chio-Srichan S, et al. Characteristic evaluation of gel formulation containing niosomes of melatonin or its derivative and mucoadhesive properties using ATR-FTIR spectroscopy. *Polymers*. 2021;13(7):1142.
18. Shirvany A, Rezayan AH, Alvandi H, Barshan Tashnizi M, Sabahi H. Preparation and evaluation of a niosomal drug delivery system containing cefazolin and study of its antibacterial activity. *Iranian Journal of Medical Microbiology*. 2021;15(6):638-57.
19. Ahrabi NZ, Tabaie SM, Moghadam MJ. Study of Cytotoxic Effects of Caffeine-Loaded Niosomes on Human Breast Cancer Cells MCF-7. *Journal of Sabzevar University of Medical Sciences*; 2021.28(4):663-674.
20. Mokarram R, Mortazavi S, Najafi MH, Shahidi F. The influence of multi stage alginate coating on survivability of potential probiotic bacteria in simulated gastric and intestinal juice. *Food Research International*. 2009;42(8):1040-5.
21. Zhang F, Li Y, Wang X, Wang S, Bi D. The impact of Lactobacillus plantarum on the gut microbiota of mice with DSS-induced colitis. *BioMed Research International*.
1. Da Silva BC, Lyra AC, Rocha R, Santana GO. Epidemiology, demographic characteristics and prognostic predictors of ulcerative colitis. *World Journal of Gastroenterology: WJG*. 2014;20(28):9458.
2. Niu X, Fan T, Li W, Huang H, Zhang Y, Xing W. Protective effect of sanguinarine against acetic acid-induced ulcerative colitis in mice. *Toxicology and applied pharmacology*. 2013;267(3):256-65.
3. Lin W-C, Chang C-W, Chen M-J, Chu C-H, Shih S-C, Hsu T-C, et al. Challenges in the diagnosis of ulcerative colitis with concomitant bacterial infections and chronic infectious colitis. *PLoS One*. 2017;12(12):e0189377.
4. Yang Y, He J, Suo Y, Lv L, Wang J, Huo C, et al. Anti-inflammatory effect of taurocholate on TNBS-induced ulcerative colitis in mice. *Biomedicine & Pharmacotherapy*. 2016;81:424-30.
5. Hindryckx P, Jairath V, D'haens G. Acute severe ulcerative colitis: from pathophysiology to clinical management. *Nature Reviews Gastroenterology & Hepatology*. 2016;13(11):654-64.
6. Duary RK, Bhausahab MA, Batish VK, Grover S. Anti-inflammatory and immunomodulatory efficacy of indigenous probiotic Lactobacillus plantarum Lp91 in colitis mouse model. *Molecular biology reports*. 2012;39:4765-75.
7. Gionchetti P, Rizzello F, Venturi A, Brigidi P, Matteuzzi D, Bazzocchi G, et al. Oral bacteriotherapy as maintenance treatment in patients with chronic pouchitis: a double-blind, placebo-controlled trial. *Gastroenterology*. 2000;119(2):305-9.
8. Venturi, Gionchetti, Rizzello, Johansson, Zucconi, Brigidi, et al. Impact on the composition of the faecal flora by a new probiotic preparation: preliminary data on maintenance treatment of patients with ulcerative colitis. *Alimentary pharmacology & therapeutics*. 1999;13(8):1103-8.
9. Kruis W, Schütz E, Fric P, Fixa B, Judmaier G, Stolte M. Double-blind comparison of an oral Escherichia coli preparation and mesalazine in maintaining remission of ulcerative colitis.

- 2019;2019(1):3921315.
22. Khan I, Wei J, Li A, Liu Z, Yang P, Jing Y, et al. *Lactobacillus plantarum* strains attenuated DSS-induced colitis in mice by modulating the gut microbiota and immune response. *International Microbiology*. 2022;25(3):587-603.
23. Bamias G, Martin C, Marini M, Hoang S, Mishina M, Ross WG, et al. Expression, localization, and functional activity of TL1A, a novel Th1-polarizing cytokine in inflammatory bowel disease. *The Journal of Immunology*. 2003;171(9):4868-74.
24. Sanchez-Muñoz F, Dominguez-Lopez A, Yamamoto-Furusho JK. Role of cytokines in inflammatory bowel disease. *World journal of gastroenterology: WJG*. 2008;14(27):4280.
25. Shouval DS, Biswas A, Goettel JA, McCann K, Conaway E, Redhu NS, Mascanfroni ID, Al Adham Z, Lavoie S, Ibourk M, Nguyen DD. Interleukin-10 receptor signaling in innate immune cells regulates mucosal immune tolerance and anti-inflammatory macrophage function. *Immunity*; 2014.40(5):706-19
26. Lindsay J, Hodgson H. The immunoregulatory cytokine interleukin-10—a therapy for Crohn's disease? *Alimentary pharmacology & therapeutics*. 2001;15(11):1709-16.
27. Duary RK, Bhausahab MA, Batish VK, Grover S. Anti-inflammatory and immunomodulatory efficacy of indigenous probiotic *Lactobacillus plantarum* Lp91 in colitis mouse model. *Molecular biology reports*; 2012.39:4765-75
28. Yu P, Ke C, Guo J, Zhang X, Li B. *Lactobacillus plantarum* L15 alleviates colitis by inhibiting LPS-mediated NF-κB activation and ameliorates DSS-induced gut microbiota dysbiosis. *Frontiers in Immunology*; 2012.11:575173
29. Honary S, Zahir F. Effect of zeta potential on the properties of nano-drug delivery systems-a review (Part 2). *Tropical journal of pharmaceutical research*. 2013;12(2):265-73.
30. Soltani N, Nikoonahadlotfabadi N. Evaluation of the effect of niosomal nano-carriers containing rosemary (*rosemary officinalis*) essential oil on survival of kg-1 cell line of acute myeloid leukemia. 2019. (Persian)
31. Wuyts S, Allonsius CN, Wittouck S, Thys S, Lievens B, Weckx S, et al. Comparative genome analysis of *Lactobacillus mudanjiangensis*, an understudied member of the *Lactobacillus plantarum* group. *Microbial genomics*. 2019;5(9):e000286.
32. Shoaie F, Heshmati A, Mahjub R, Garmakhany AD, Taheri M. The assessment of microencapsulated *Lactobacillus plantarum* survivability in rose petal jam and the changes in physicochemical, textural and sensorial characteristics of the product during storage. *Scientific reports*. 2022;12(1):6200.
33. Sadeghi-Ghadi Z, Ebrahimnejad P, Talebpour Amiri F, Nokhodchi A. Improved oral delivery of quercetin with hyaluronic acid containing niosomes as a promising formulation. *Journal of drug targeting*. 2021;29(2):225-34.
34. Akhlaghi M, Ebrahimpour M, Ansari K, Parnian F, Zarezadeh Mehrizi M, M T. Synthesis, study and characterization of nano niosomal system containing *Glycrrizha glabra* extract in order to improve its therapeutic effects. *NCMBJ*. 2021;11(42):65-82. (Persian)